

**ЛОКАЛЬНЫЕ ИЗМЕРЕНИЯ ПОЛОИДАЛЬНОГО МАГНИТНОГО ПОЛЯ И  
КОЭФФИЦИЕНТА ЗАПАСА УСТОЙЧИВОСТИ  $q$  В БЛИЗИ  
ОСИ РАЗРЯДА В УСТАНОВКЕ ТУМАН-3  
МЕТОДОМ АКТИВНОЙ КОРПУСКУЛЯРНОЙ ДИАГНОСТИКИ**

B.И.Афанасьев, A.И.Кисляков, C.В.Лебедев,  
C.Я.Петров, F.В.Чернышев, K.Г.Шаховец

Впервые выполнены измерения полоидального магнитного поля и коэффициента запаса устойчивости  $q$  в токамаке по угловому распределению атомов водорода, образовавшихся при диссоцииации молекул диагностического пучка. На токамаке Туман-3 в режиме с  $I_p = 40$  кА  $q = 2,6$  на расстоянии 5 см от оси разряда.

Информация о распределении плотности тока и связанном с ним распределении полоидального магнитного поля чрезвычайно важна для понимания стабильности плазменного шнура в токамаках и процессах переноса частиц и энергии. Один из возможных методов локальных измерений полоидального поля был предложен в работе<sup>1</sup> (см. также монографию<sup>2</sup>). Этот метод основан на инжекции в плазму молекулярного водородного пучка с энергией порядка десятка килоэлектронвольт и на последующей регистрации углового распределения вылетающих из плазмы атомов водорода, образовавшихся при последовательной ионизации молекул и диссоциации молекулярных ионов. Недавно его возможности были проанализированы применительно к токамаку ASDEX<sup>3</sup>.

Рассмотрим схему эксперимента, реализующую этот метод измерения полоидального поля. Предположим, что в токамаке инжектируется по вертикальной хорде нейтральный пучок молекул водорода с энергией  $\sim 10$  кэВ на некотором расстоянии  $r_p$  от оси разряда (рис. 1а) с поперечными размерами в направлении большого радиуса малым по сравнению с радиусом плазменного шнура  $a$ . Считаем также, что по сравнению с  $a$  мал и ларморовский радиус молекулярных ионов с энергией, равной энергии молекул в пучке. Этот пучок будет служить источником атомов, возникающих в результате двух последовательных процессов: ионизации молекул (преобладающей является ионизация в результате перезарядки на протонах ( $H_2 + p \rightarrow H_2^+ + H^0$ ) и диссоциации молекулярного иона (главным образом за счет столкновений с электронами ( $H_2^+ + e \rightarrow H^0 + H^+ + e$ )).

Рассмотрим поток атомов, испускаемых в средней плоскости тора. Из-за наклона силовых линий магнитного поля, связанного с протеканием тока и равного величине  $\varphi = B_\phi/B_\theta$  по отношению к главной плоскости тора, скорость молекулярных ионов в момент их образования вблизи главной плоскости может быть представлена состоящей из двух компонентов по перечной по отношению к продольному полю  $V_\perp = V_0 \cos \varphi$  и продольной  $V_\parallel = V_0 \sin \varphi$ . Если последующая диссоциация происходит достаточно быстро (в течение одного или нескольких оборотов по ларморовской окружности), то можно считать, что соотношение между этими скоростями останется неизменным, и атомы, возникшие в результате диссоциации и испускаемые в средней плоскости тора, будут выходить в направлении, составляющим угол по отношению к направлению большого радиуса (рис. 1в):

$$\varphi' = \operatorname{arctg} \frac{V_\parallel \cos \varphi}{V_\perp} = \operatorname{arctg} \frac{V_0 \sin \varphi \cos \varphi}{V_0 \cos \varphi} = \operatorname{arctg} \sin \varphi \approx \varphi. \quad (1)$$

Связь между  $\varphi$  и  $\varphi'$  для случая невертикальной инжекции была найдена в<sup>3</sup>.

Отклонение же инжектируемого пучка от полоидальной плоскости приводит к тому, что даже при отсутствие тока в плазме, например, в случае инжекции пучка в камеру с газом и тороидальном магнитном полем, направление испускания потока вторичных атомов отколо-

нится от направления большого радиуса. Поэтому в реальном эксперименте тороидальный угол  $\varphi'$  представляет собой разность между направлениями вылета вторичных атомов при наличии и отсутствие тока в разрядной камере.

В эксперименте на Тумане-3 для измерения угла  $\varphi'$  использовалась часть комплекса корпскулярной и корпскулярно-спектроптической диагностики <sup>4</sup>, состоящая из инжектора ДИНА-4а, установленного на вертикальном патрубке, и пятиканального анализатора атомов водорода, позволяющего сканировать плазму и зондирующий пучок в тороидальном направлении в средней плоскости тора.

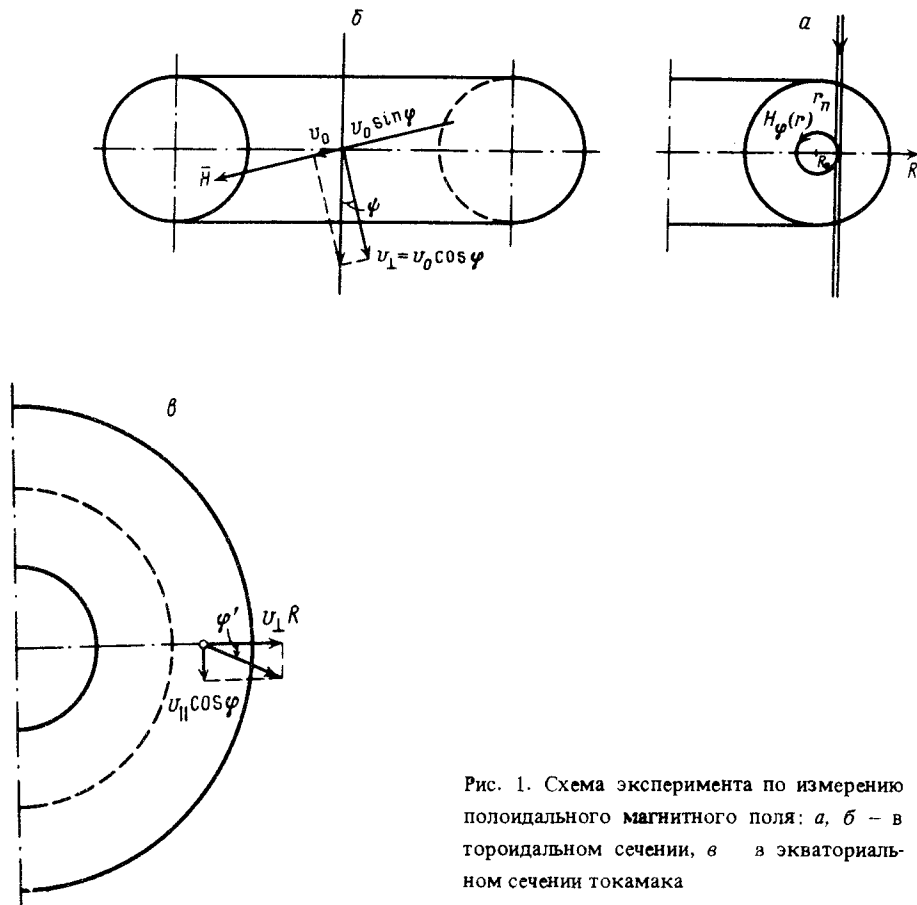


Рис. 1. Схема эксперимента по измерению полоидального магнитного поля: *a*, *b* – в тороидальном сечении, *c* – в экваториальном сечении токамака

Пучок, создаваемый инжектором ДИНА-4а, более чем на 95% состоит из атомов водорода <sup>5</sup>. Однако, как показал анализ, сделанный в работе <sup>3</sup>, использование атомарной фракции для измерения угла  $\varphi'$  является очень неэффективным из-за низкой вероятности обратной зарядки, связанной с малостью концентрации нейтральных атомов в плазме. Для измерений на Тумане-3 использовалась незначительная ( $\sim 3\%$ ) молекулярная фракция.

Измерения угла  $\varphi'$  проводились в следующем режиме установки Туман-3: продольное поле  $B_0 = 5,2$  кГс, ток разряда  $I_p = 40-70$  кА, средняя плотность  $\bar{n}e = 1 \cdot 10^{13}$  см<sup>-3</sup>. Размеры установки: большой радиус  $R_k = 55$  см, малый радиус  $a = 24$  см. Низкие значения  $I_p$  были связаны с геометрическими ограничениями, определяемыми размерами диагностического пучка. Энергия частиц диагностического пучка была равна  $\sim 10$  кэВ, размер пучка в полоидальном направлении – 2 см, длительность пучка и время измерения  $10^{-4}$  с. Результаты представлены на рис. 2. На верхнем графике (*a*) пунктирной кривой показан профиль свечения пучка в газе, заполняющем разрядную камеру, измеренный на линии  $H_\alpha$  с помощью фотоэлектронного

умножителя с использованием коллиматора пятиканального анализатора атомов. В дальнейшем предполагалось, что профиль плотности пучка совпадает с профилем его свечения в газе, и все последующие результаты нормировались на изменение его плотности в зависимости от  $\varphi'$ . Здесь же сплошной кривой показан профиль плотности потока вторичных атомов с энергией  $E_{H_1}^0 = 0,5$ ,  $E_{H_2}^0 = 4,6$  кэВ, испускаемых из камеры токамака с продольным полем и газом (без плазмы). Полуширина кривой, равная  $1,3^0$ , определяется угловым разрешением анализатора, угловым разбросом частиц в пучке и уширением, связанным с энергией франк-конденновских переходов при диссоциации. Последний фактор, по-видимому, является доминирующим.

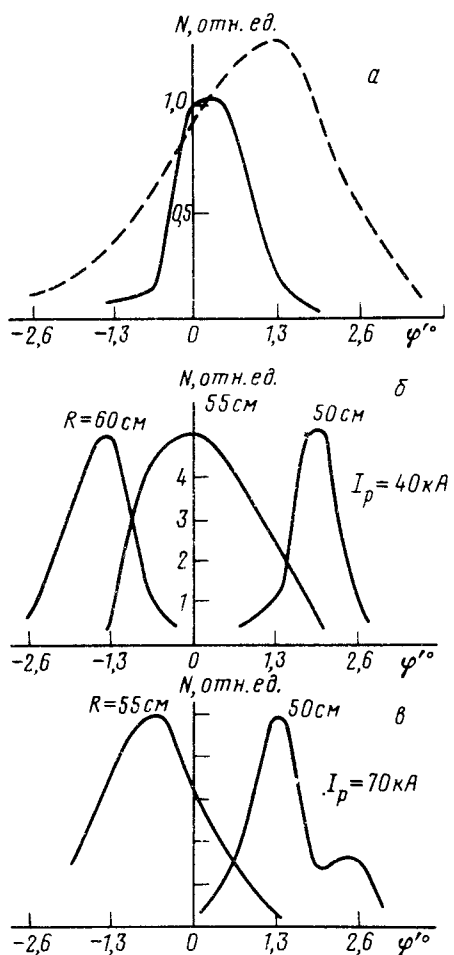


Рис. 2. *a* – Профиль свечения пучка в газе (пунктирная линия) и профиль плотности потоков вторичных атомов в газе с продольным магнитным полем (сплошная линия); *б, в* – профили плотности потоков вторичных атомов из плазмы при инжекции пучка по различным хордам для разрядов с током  $I_p = 40 \text{ кА}$  и  $I_p = 70 \text{ кА}$

На следующем графике (*б*) показаны профили плотности потоков вторичных атомов из плазмы при  $I_p = 40 \text{ кА}$  при инжекции пучка по различным хордам вблизи оси разрядной камеры ( $R_k = 55 \text{ см}$ ), и на графике (*в*) – то же, но для  $I_p = 70 \text{ кА}$ . Количество отсчетов в максимуме пиков в зависимости от положения инжектора и тока разряда изменялось от 600 до 70 импульсов за  $10^{-4} \text{ с}$ . Видно смещение пиков в зависимости от направления инжекции, при этом наклон инжектора относительно вертикали составлял  $+4,5^0$  (соответственно,  $R = 50 \text{ см}$  и  $60 \text{ см}$ ). Малая ширина линии, соответствующей  $R = 50 \text{ см}$  при  $I_p = 40 \text{ кА}$ , также как и флюктуации интенсивности на контуре этой линии при  $I_p = 70 \text{ кА}$ , возможно, связаны с тем, что она находится слишком близко к краю пучка. Недостаточной шириной пучка можно объяснить исчезновение линии, соответствующей  $R = 60 \text{ см}$  при увеличении  $I_p$  до 70 кА.

Результаты измерений угла наклона магнитных силовых линий по отношению к средней плотности тора ( $\varphi$ ) для различных  $R$  и  $I_p$  представлены на рис. 3. Естественно, что эти данные являются усредненными по ширине пучка в полоидальном направлении и по траектории движения иона  $H_2^+$  по 90-градусной дуге ларморовской окружности ( $\sim \rho_L = 4$  см). Последний фактор приводит к тому, что результаты измерений следует относить к координатам, смещенным на  $\sim 0,5\rho_L$  относительно оси зондирующего пучка, в наших экспериментах наружу. Это смещение учтено при построении рис. 3. Из рисунка видно, что для режима с  $I_p = 40$  кА ось разряда смещена наружу на 1,7 см относительно оси камеры, и при увеличении  $I_p$  до 70 кА она перемещается внутрь на 2 см, что может быть связано с уменьшением внутренней индуктивности шнуря.

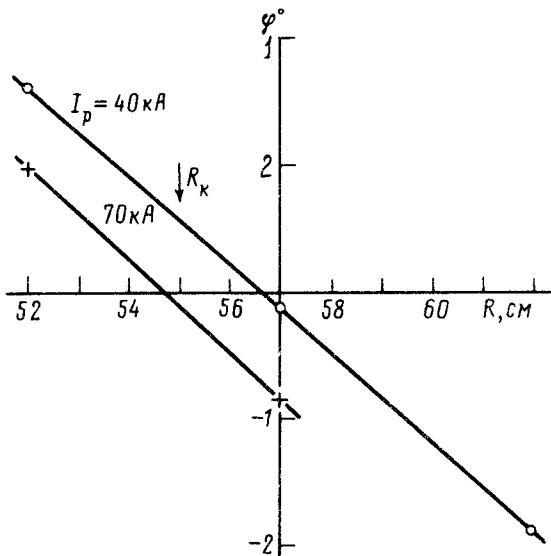


Рис. 3. Зависимость угла наклона силовых линий магнитного поля от направления инжекции пучка атомов для разрядов с током  $I_p = 40$  кА и  $I_p = 70$  кА

Зная угол наклона магнитных силовых линий по отношению к средней плоскости тора  $\varphi$ , можно рассчитать величину полоидального магнитного поля  $B_\varphi$ , т.к.  $B_\varphi(r) = B_\theta(R) \operatorname{tg} \varphi$ . А зная положение оси тока, можно найти плотность тока внутри поверхности с радиусом  $r$  и величину коэффициента запаса устойчивости  $q(r)$ , для чего использовались следующие соотношения:

$$j(r) = \frac{1,6}{r} B_\theta(R_0) \frac{R_0}{R_0 + r} \operatorname{tg} \varphi; \quad q(r) = \frac{|r|R}{R_0^2} \frac{1}{\operatorname{tg} \varphi}, \quad (2)$$

где  $j(r)$  — в  $\text{A}/\text{см}^2$ ,  $r, R_0, R$  — в см,  $B_\theta$  — в Гс.

Результаты представлены в таблице:

$I_p$ кА	$q(a)$	$R_0$ см	$r = R - R_0$ см	$B_\varphi(r)$ Гс	$j(r)$ $\text{A}/\text{см}^2$	$q(r)$
40	9,3	56,7	- 4,7	162	54,5	2,8
			+ 0,3	12	62,6	2,4
			+ 5,3	154	45,9	3,3
70	5,3	54,7	- 2,7	97	52,7	2,9
			2,3	76	53,0	3,1

Из таблицы видно, что с увеличением тока плотность тока вблизи центра плазменного шнура практически не меняется. Это может быть связано, например, с уширением профиля плотности тока. При этом внутренняя индуктивность уменьшается, то-есть, уменьшается и смещение шнура, что согласуется с данными эксперимента (см. таблицу).

Таким образом, проведенные эксперименты показывают возможность локальных измерений полоидального магнитного поля и коэффициента запаса устойчивости в токамаках вблизи оси разряда.

#### Литература

1. *Jobes F.C.* 2-nd Topical Conf. on High-Temperature Plasma Diagnostics. Santa Fe, 1978, Report LA-7160-C, p. 101.
2. Кузнецов Э.И., Щеглов Д.А. Методы диагностики высокотемпературной плазмы. М.: Атомиздат, 1980, с. 73.
3. *Herrmann W.* 16th European Conference on Controlled Fusion and Plasma Physics. Venice, 1989, 13B, Part IV, p. 1541.
4. Абрамов А.И. и др. Препринт ФТИ №1205, 1983.
5. Давыденко В.И. и др. Физика плазмы, 1981, 7, 464.

Поступила в редакцию

16 октября 1989 г.